

ポリサルホンの塩酸および硝酸による劣化過程の熱分析

中村邦雄*、小林正隆**

(昭和63年2月16日受理)

Thermal Analysis of Polyarylsulfone Aged by Hydrochloric and Nitric Acids

Kunio Nakamura* and Masataka Kobayashi**

This paper investigated the thermal behavior of polyarylsulfone (PSF) films aged by hydrochloric (HCl) and nitric acids (HNO₃). The thermal decomposition and glass transition of PSF films were evaluated using thermogravimetry (TG) and differential scanning calorimetry (DSC). The TG curve of untreated PSF film shows a two-stage process, while TG curves of aged films show a three-stage process. The weight loss which was found in the aged films at low temperature region, below 300°C, is considered to be due to the decomposition of PSF with low molecular weight. This suggests that a part of PSF is decomposed by HCl and HNO₃. The glass transition temperature (T_g) of PSF decreased as the period of treatment in the acids was increased. However, T_{gs} s of the samples increased when the samples were immersed in 15% HCl, concentrated HCl and 15% HNO₃ for more than 120 days. The decrease of T_g showed a good linear relationship with the increase of weight loss near 230°C.

1. はじめに

芳香族ポリサルホン (PSF) は、機械的性質、熱的性質、寸法安定性、難燃性および衛生性などに優れた非晶性で熱可塑性のエンジニアリングプラスチックであり、1966年に、アメリカのユニオンカーバイド社 (UCC) から初めて市販されるようになった¹⁾。PSFの合成²⁾⁻⁴⁾および物性⁵⁾⁻⁸⁾に関する報告は今まで多数出されている。また、ポリオレフィンサルホンについても最近そ

の合成と物性が研究されるようになってきた⁹⁾⁻¹¹⁾。PSFは、その物性の特徴を生かして、電気機械部品、自動車、航空機部品、精密機械部品、医療機器等に広く利用されている^{12), 13)}。さらに耐熱性、耐薬品性に優れていることおよび溶媒可溶であることから、溶液キャスティングにより成型した薄膜を分離膜として応用することも現に行われている¹⁴⁾。しかしながら、PSFフィルムの熱による劣化を、強伸度特性や分光分析により評価した報告はあるが¹⁵⁾、酸による長時間にわたった劣化過程を、熱分析により解析した例はみられない。

ゴミ焼却炉などのプラント建設に当たり、その寿命に影響を及ぼす重要な問題は塗料である。ゴミ焼却プラント内の燃焼雰囲気は、一般ゴミに混ざったポリ塩化ビニールなどが燃焼し高温、多湿の上に酸性を示し、内面の塗料膜に作用する。PSFは、耐熱性、耐酸性に優れた高分子材料であるが、塗料ベースとしてPSFを考慮した場合、長時間、高温の酸性雰囲気中に置かれた時に、PSFの物性が変化せずに初期の状態を保っているとは考えられない。このような環境下での、PSFの劣化過程が解明できるなら、PSFの寿命の予測が可能となり、プラント設計に当たって重要な示唆が得られると考えられる。

* 神奈川県工業試験所繊維部：横浜市金沢区昭和町3173

〒236

Industrial Research Institute of Kanagawa Prefecture. Textile Department: 3173, Showamachi, Kanawawa-ku, Yokohama 236, Japan
現住所；大妻女子大学家政学部被服学科：東京都千代田区三番町12 〒102

OTSUMA WOMEN'S UNIVERSITY: 12, Sanbancho, Chiyoda-ku, Tokyo 102, Japan

** 日本鋼管(株) 新材料事業部：川崎市川崎区南渡田町1-1 〒210

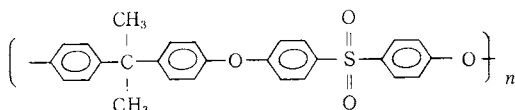
NIPPON KOKAN K.K. New Materials Division: 1-1, Minamiwatarida-cho, Kawasaki-ku, Kawasaki 210, Japan

ここでは、P S Fをプラント用の塗料ベースとして利用することを前提にし、P S Fフィルムを一定温度の塩酸および硝酸中に放置した場合の、酸劣化の過程を熱分析により評価した結果について報告する。

2. 実験

2.1 試料調製

試料のポリサルホン樹脂(P S F)は日産化学工業製で分子構造は、



を持つ熱可塑性高分子である。P S Fペレットをテトラビドロフラン(T H F)に溶解し、ガラス板上で厚さ約0.1~0.2 mmの薄いフィルムとした。このP S Fフィルムを、55°Cの濃塩酸(c-HCl)、15%塩酸(d-HCl)濃硝酸(c-HNO₃)、および15%硝酸(d-HNO₃)中に一定時間放置し、取り出し数回良く水洗を繰り返し、真空乾燥して測定に供した。処理時間はTable 1の通りである。なお、塩酸および硝酸は市販品の特級試薬を用い、濃塩酸は36%，濃硝酸は61%濃度であった。

Table 1 Aging conditions of polyarylsulfone films by hydrochloric and nitric acids.

Acid	Concentration	Symbol	Time (day)				
HCl (55°C)	36%	c-HCl	20	40	60	120	250
	15%	d-HCl	30	60	90	120	280
HNO ₃ (55°C)	61%	c-HNO ₃	20	40	60	120	-
	15%	d-HNO ₃	30	60	90	120	280

2.2 熱天秤(T G A)

試料の熱分解に伴なう重量変化はデュポン社製の熱天秤、951 T G Aを用い、空気を80 ml/min流した雰囲気中で測定した。昇温速度は10°C/minで行なった。分解時の活性化エネルギー(ΔE)は小林ら¹⁵⁾が開発した方法により、大型計算機を用いて計算した。

2.3 示差走査熱量計(D S C)

各試料のガラス転移温度(T_g)はデュポン社製の示差走査熱量計、910 D S Cを用い、アルミニウム製の密閉パンおよびオープンパンを用いて測定した。昇温速度は10°C/minで、N₂ガス40 ml/minの雰囲気中で行なった。

3. 結果と考察

3.1 热分解挙動

Fig. 1に60日間酸処理したP S FのT G曲線を示す。P S Fの熱分解挙動が窒素雰囲気と空气中では異なるこ

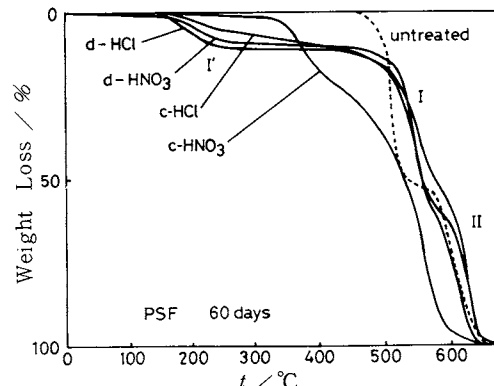


Fig. 1 TG curves of PSF films aged by d-HCl, d-HNO₃, c-HCl and c-HNO₃ for 60 days. Dotted line shows TG curve of untreated PSF film. Heating and air flow rates are 10°C/min and 80 ml/min, respectively.

Table 2 Activation energy of decomposition of polyarylsulfone films aged by hydrochloric and nitric acids for 60 days.

Aging condition	Decomposition stage		
	I' (~300°C)	I (~560°C)	II (560°C~)
untreated	-	87	108
c-HCl	28	79	90
d-HCl	31	81	103
c-HNO ₃	-	64	45
d-HNO ₃	22	76	96

unit = Kcal/mol

とは既に報告されている^{3),7)}。ここではプラント設計というより現実的な雰囲気を考慮する必要上、空気中での分解挙動を測定した。図から明らかなように、P S F未処理試料のT G曲線は約450°Cまで変化は認められず、約460°Cから減量を開始し(第I段階)，約560°Cからさらに新たな分解により勾配を変化し(第II段階)，690°Cでほぼ100%の分解を終了した。d-HCl, c-HClおよびd-HNO₃処理試料の場合、未処理試料に見られない130°C~300°Cにかけて約10%の減量(第I'段階)が新たに観測され、I, II段階の分解まで徐々に減量しながら続いているのがわかる。第I'段階の減量はd-HCl > d-HNO₃ > c-HCl > c-HNO₃の順であった。また、この第I'段階の減量は処理時間の増加とともに多少低温側に移動する傾向がみられた。400°C以上における減量曲線は未処理試料と類似して2段階の変化を示した。分解時の活性化エネルギー(ΔE)をTable

2に示す。未処理試料に比較して、処理試料はどの段階でも多少小さな値となり、分解しやすいことがわかった。

PSFは一般的の酸には強いが、硝酸には酸化され分解することが知られている¹³。本実験でもc-HNO₃処理の場合、120日間処理したPSFフィルムは、わずかに形を止どめるだけで、それ以上処理すると完全に溶解消滅し、測定に供することはできなかった。c-HNO₃処理の場合、Fig.1から明らかなように、未処理試料より低温側(約320°C)から分解が開始し、減量はほとんどなく、わずかにベースラインの低下が認められた。分解したPSFの低分子量分が濃硝酸中に溶解し、試料PSFフィルム中から除去され、TG曲線の第I'段階の減量を急減させたものと考えられる。第I段階は約320°Cから減量し始め、約420°Cから第II段階の分解が起り、660°Cで100%分解が終了した。分解時の活性化エネルギーΔE_I=64kcal/mol, ΔE_{II}=45kcal/molであり、最も小さな値を示した。

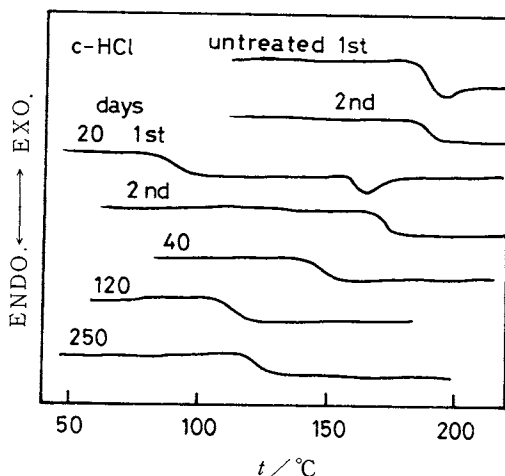


Fig. 2 DSC curves of PSF films aged by c-HCl for 20 days to 250 days. Scanning rate is 10°C/min.

3.2 ガラス転移温度(T_g)

Fig. 2にPSFのc-HCl処理試料の T_g 付近のDSC曲線を示す。PSF未処理試料の T_g は、1回目の操作で184°C, 2回目186°Cと、2回目がわずかであるが高くなつた。また、処理試料も同様の傾向で、代表的に20日間処理試料の1回目および2回目測定のDSC曲線を図に示した。一般的に1回目操作では明らかに低温側(約70°C~90°C)および高温側(140°C~160°C)の二つの T_g によるベースラインの移動が観測された。2回目測定では、低温側のベースラインの移動は高温側に

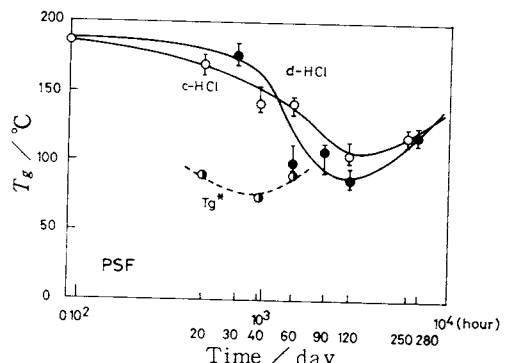


Fig. 3 The relationship between T_g of PSF films aged by c-HCl and d-HCl and immersed periods in the acids.

比較して消滅したように小さくなる。同一試料をDSCオープンパンを用いて測定した場合、1回目測定で約230°Cまで昇温すると、ほぼ同様のDSC曲線を示すが、2回目測定では低温側のベースラインの移動は認められなかった。二つの T_g が観測されたのは、c-HClにより分解し、低分子量化したPSFが可塑化効果を示すためと考えられる。TG分析の結果、c-HCl処理試料は130°C~250°Cで約8%の減量が観測されたが、明らかにDSC測定の結果は、この低温域での減量が低分子量化したPSFによるものであることを示唆している。オープンパンを使用して測定した場合、1回目測定では低分子PSFの可塑化効果により低い T_g を示すが、2回目測定では、可塑化効果が小さくなり、未処理試料の T_g へ近づくものと考えられる。

PSFのc-HCl処理の2回目測定の T_g は、処理時間の増加とともに減少するが、250日間処理した試料の T_g は、多少上昇する傾向がみられた(Fig. 3)。これは低分子化したPSFが、さらに長時間塩酸中にさらされることにより、溶出して行き、可塑化効果を示す成分が減少するためと考えられる。

Fig. 3には、d-HCl処理試料の処理時間と T_g の関係も示す。30日間処理試料の T_g は176°Cであるが、それ以上の処理時間になると100°C前後となり、c-HClと比較してかなり低い値を示した。これはTG分析の結果と合わせ考えた場合、明らかにd-HCl処理試料の方がc-HCl処理試料より、130°C~250°Cの範囲での減量が大きかった。すなわち可塑化効果を示す低分子量分解物の生成は、d-HCl処理の方が大きく、従って T_g をより大きく低下させたものと考えられる。280日間処理試料の T_g は、120日間処理試料より約35°C高くなっているが、長時間処理することにより、低分子量

生成物はさらに分解低分子化し、塩酸中に容易に溶出し、可塑化効果を示す成分が減少するためと考えられる。これはTG分析の結果、120日間処理で11.7%，280日間処理で8.7%の減量と小さくなっていることからも明らかである。

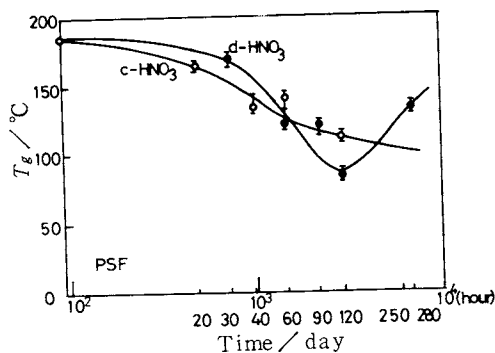


Fig. 4 The relationship between T_g of PSF films aged by c- HNO_3 and d- HNO_3 and immersed periods in the acids.

Fig. 4に、c- HNO_3 およびd- HNO_3 処理試料の T_g と処理時間の関係を示す。c- HNO_3 処理の場合、 T_g は処理時間の増加とともに単調に減少する。一方、d- HNO_3 処理の場合、 T_g は120日間までは減少するが、120日間以上になると上昇することがわかった。PSFが硝酸により容易に酸化され分解することは既に述べたが、Fig. 1のTG曲線から明らかなように、c- HNO_3 によって可塑化効果を示す分解低分子物質は硝酸中に溶出し、塩酸処理と比較して低温側での重量減少がほとんど認められないことがわかる。さらに、メインの分解開始温度が低温側に移動しており、c- HNO_3 処理の場合、 T_g の低下は、単に可塑化効果によるだけではなく、PSFの主鎖の切断により、低温側へ移動することを示唆している。

Fig. 4から明らかなように、d- HNO_3 で30日間処理したPSFの T_g は、178°Cと未処理試料と大きな差は認められなかった。これはTG分析の結果、300°C以下での重量減少が非常に小さいこと、すなわち可塑化効果を示す低分子量物質の生成が小さいことから明らかである。しかしながら、60日間以上処理すると、硝酸による酸化作用は次第に大きくなり、 T_g は大きく低下する。また280日間処理したPSFの T_g は133°Cと高くなり、分解した低分子量PSFが硝酸中に溶出移動するためと考えられる。

以上述べたように、PSFの T_g は、塩酸および硝酸処理により分解生成した低分子量物質の影響により低下

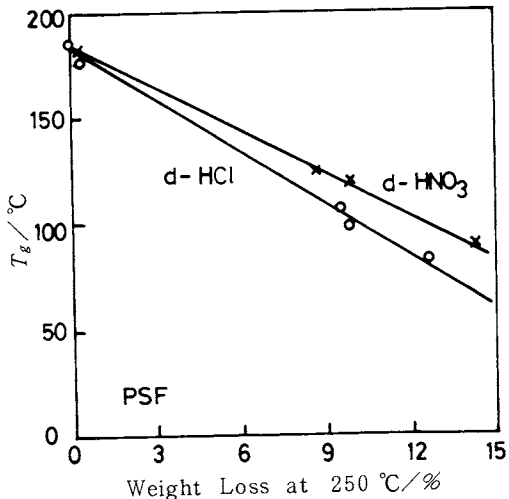


Fig. 5 The relationship between T_g of PSF films aged by d-HCl and d- HNO_3 and weight loss at about 250°C in TG curves.

する。もしこの低分子量物質の可塑化効果により T_g が減少すると考えるならば、その量が T_g の変化量に比例して影響を及ぼすはずである。そこでTG分析による約250°Cまでの減量率と T_g の関係をプロットするとFig. 5のようになる。この図から明らかなように、PSFの T_g は、重量減少が大きくなるとともに直線的に減少し、塩酸および硝酸処理により分解生成した低分子量物質が可塑剤として働き、可塑化効果のため T_g が低下することを明らかに裏付けている。

以上の結果をより明確に支持するデータとして分子量(M_w)および分子量分布(M_w/M_n)を測定したところ、酸化処理後のPSFの M_w は、c- HNO_3 処理を除いてさほど大きな減少は認められなかつたが、 M_w/M_n は明らかに大きくなり、低分子量物質の増加を示唆した¹⁶⁾。

4. まとめ

酸処理によるPSFのTG測定の結果は、230°C付近に新たな減量が観測されることが特徴である。この減量成分は、 T_g に可塑化効果として影響を及ぼし、見かけ上、塩酸処理の方が硝酸処理より大きくなった。

分解時の活性化エネルギーは第I段階が80 kcal/mol、第II段階が100 kcal/mol、第I'段階が30 kcal/molであり、Kiran¹¹⁾らの報告を参照すると、第I段階はC-S結合の解離であり、第II段階はC-CおよびC-Hの解離であり、第I'段階は、酸処理により生じた低分子量物質によるものと考えられる。

P S F の T_g は、酸処理により低下するが、いずれの場合も 120 日処理に極小値を示し、120 日間処理が最も可塑化効果を示す低分子量物質の主成が大きいことを示唆した。それ以上処理すると分解は進行するが、可塑化効果を示す物質が酸中に溶出し、減少するため、逆に T_g が多少増加すると考えられる。この結果は、TG 測定による 230 °C 付近の減量が 120 日間処理で最大となり、それ以上では、逆に減少していることからも明らかである。

文 献

- 1) 舊橋章, プラスチックス 33, 83 (1982).
- 2) R.N. Johnson, A.G. Clendinning, W.F. Hale and C.N. Merriam, *J. Polym. Sci. A-1*, 5, 2375 (1967).
- 3) H.A. Vogel, *J. Polym. Sci. A-1*, 8, 2035 (1970).
- 4) S.M. Cohen and R.H. Young, *J. Polym. Sci. A-1*, 4, 722 (1966).
- 5) W.F. Hale, A.G. Farnham, R.N. Johnsson and R.A. Clendinning, *J. Polym. Sci. A-1*, 5, 2399 (1967).
- 6) R.N. Johnson and A.G. Farnham, *J. Polym. Sci. A-1*, 5, 2415 (1967).
- 7) W.M. Alvino, *J. Appl. Polym. Sci.* 15, 2521 (1971).
- 8) 岡忠文, 横田力男, 古知政勝, 神戸博太郎, 高分子論文集 38, 479 (1981).
- 9) T.N. Bowmer and J.H.O'donnell, *J. Macromol. Sci. A17* (2), 243 (1982).
- 10) M.J. Bowden, L.F. Thompson, W. Robinson and M. Biolsi, *Macromolecules* 15, 1417 (1982).
- 11) E. Kiran and J.K. Gillham, *J. Appl. Polym. Sci.* 21, 1159 (1977).
- 12) 伊保内賢, プラスチックス 34, 53 (1983).
- 13) 木村博, 寺岡文雄, プラスチックスエージ 2, 93 (1983).
- 14) 宇治川秀雄, 山本正秀, 平佐興彦, 大西俊次, 加藤政雄, 楠本雅彦, 繊維高分子材料研究所研究報告 132, 29 (1982).
- 15) 小林直樹, 日吉勝則, 飯塚司, 神奈川県工業試験所研究報告 41, 33 (1974).
- 16) 中村邦雄, 未発表データ

日本熱測定学会編

熱分析の基礎と応用

—生物からセラミックスまで、その多彩な展開—

B5 版 200頁

定価 ¥3,500(送料共)

学会初めての試みとして、100余名におよぶ会員の協力を得て、本書“熱測定の基礎と応用”を編纂した。わかりやすい熱分析の入門書を求める初心者の希望にそったことと、あまりにも広がった熱分析を概観しようとする専門家の要望にこたえるためである。

特長

1. 熱分析の原理、基礎技法、解析法、具体的応用例が一目でわかる構成
2. 一項目1頁、または2頁の短い、しかし要を得た記述
3. 107項目におよぶ具体的測定例
4. 全項目についている参照項目による相互関連性
5. 計算に必要な数値を網羅した付録
6. 目次、参照項目、索引を活用すれば、希望する情報をすぐ引きだせる大項目百科辞典方式

発行 科学技術社

〒113 東京都文京区湯島1-5-31 第一金森ビル
電話 03-815-8163 FAX. 03-815-8489